



北京航空航天大学
BEIHANG UNIVERSITY

现代控制理论

王陈亮

北京航空航天大学
自动化科学与电气工程学院



4.2.1 问题描述

考虑如下非线性系统：

$$\dot{x} = Ax + \varphi(y)a + \bar{b}\eta(y)N(u), y = x_1 \quad (4.2.1)$$

$$A = \begin{bmatrix} 0 & & \\ \vdots & I_{n-1} & \\ 0 & \dots & 0 \end{bmatrix} \in \mathbb{R}^{n \times n}, \bar{b} = \begin{bmatrix} 0 \\ \vdots \\ b \end{bmatrix} \in \mathbb{R}^n$$

其中 $x = [x_1, \dots, x_n]^T \in \mathbb{R}^n$ 、 $u \in \mathbb{R}$ 和 $y \in \mathbb{R}$ 为系统的状态、输入和输出， $\varphi(y) \in \mathbb{R}^{n \times q}$ 和 $\eta(y) \in \mathbb{R}$ 为已知光滑函数， $a \in \mathbb{R}^q$ 和 $b = [b_m, \dots, b_0]^T \in \mathbb{R}^{m+1}$ 为未知常量， $b_m \neq 0$ ， $N(u)$ 代表间隙或回滞非线性。



□ 间隙模型(如齿轮传动)

$$N(u(t)) = \begin{cases} h(u(t) - r_1), & \text{若 } u(t) > u(t^-) \text{ 且 } N(u(t^-)) = h(u(t^-) - r_1) \\ h(u(t) - r_2), & \text{若 } u(t) < u(t^-) \text{ 且 } N(u(t^-)) = h(u(t^-) - r_2) \\ N(u(t^-)), & \text{其它} \end{cases} \quad (4.2.2)$$

其中 $h > 0$ 、 $r_1 > 0$ 和 $r_2 < 0$ 为常数, $u(t^-) = \lim_{\Delta t \rightarrow 0^-} u(t + \Delta t)$ 。

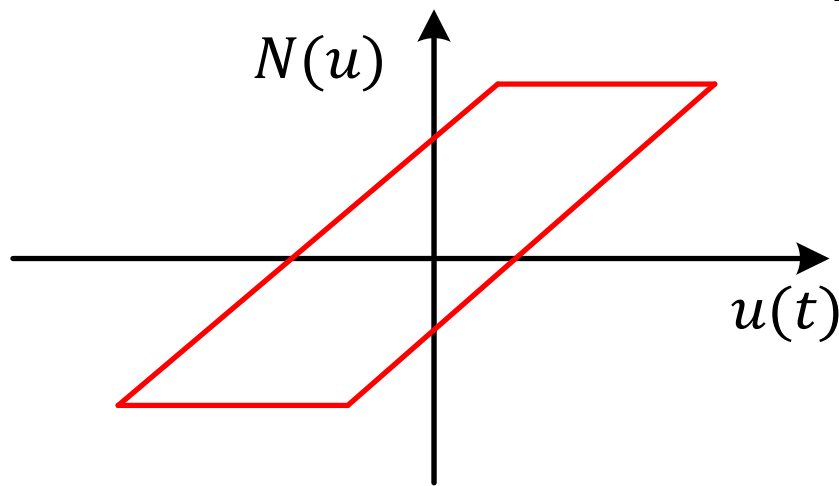


图 4.2.1 间隙非线性



□ 回滞模型(如超磁致伸缩驱动器, Bouc-Wen模型)

$$N(u) = hu + r_1 f \quad (4.2.3)$$

其中 $h > 0$ 和 $r_1 > 0$ 为常量, f 满足

$$\dot{f} = \dot{u} - r_2 |\dot{u}| |f|^{r_3-1} f + r_4 \dot{u} |f|^{r_3}, f(0) = 0 \quad (4.2.4)$$

其中 r_2 、 r_3 、 r_4 为常量, 满足 $r_2 > |r_4|$ 、 $r_3 > 1$ 。在图4.2.2中 $h = 3$, $r_1 = 5$, $r_2 = 1$, $r_3 = 2$, $r_4 = 0.5$, $f(0) = 0$, $u(t) = 3\sin t$ 。

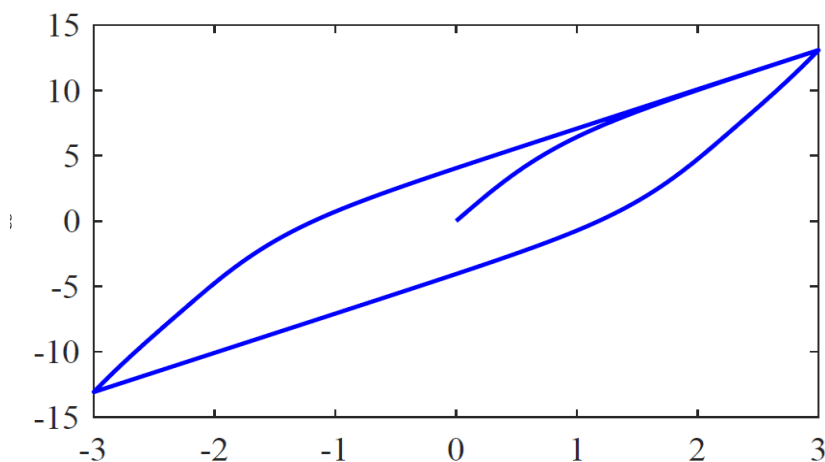


图 4.2.2 回滞非线性



针对 (4.2.4) , 定义 $V_f = \frac{1}{2}f^2$, 可得 $\dot{V}_f = f\dot{u}[1 - (\text{sign}(\dot{u})\text{sign}(f)r_2 + r_4)|f|^{r_3}]$ 。由 $r_2 > |r_4|$, $r_3 > 1$, 可知当 $|f| \geq \sqrt[r_3]{\frac{1}{r_2+r_4}}$ 时 $\dot{V}_f \leq 0$ 。再利用 $f(0) = 0$, 可知 $\forall t \geq 0$,

$$|f(t)| \leq \sqrt[r_3]{\frac{1}{r_2+r_4}}。$$

对于间隙模型(4.2.2), 令 $\Delta(t) = N(u(t)) - hu(t)$; 对于回滞模型(4.2.3), 令 $\Delta(t) = r_1 f(t)$, 则式(4.2.2)和(4.2.3)可统一写成

$$N(u) = hu + \Delta \tag{4.2.5}$$

其中 Δ 有界。



□ 控制目的

在仅有输出 y 可测量的条件下，设计控制信号 u 使得

- 闭环系统内所有信号有界；
- 被控对象输出 $y(t)$ 跟踪给定的期望轨迹 $y_d(t)$ 。

□ 基本假设

- 假设1： b_m 的符号已知。
- 假设2： $B(s) = b_m s^m + \dots + b_1 s + b_0$ 为Hurwitz多项式。
- 假设3： $\eta(y) \neq 0, \forall y \in \mathbb{R}$ 。
- 假设4： $y_d(t)$ 及其前 ρ 阶导数已知且有界，其中 $\rho := n - m$ 。



4.2.2 高增益K滤波器

选取参数 $k_i > 0 (i = 1, \dots, n)$ 使得 $s^n + k_1 s^{n-1} + \dots + k_n$ 为Hurwitz多项式, 令

$$K_\mu = [\mu k_1, \dots, \mu^n k_n]^T, \quad K = [k_1, \dots, k_n]^T$$

$$A_\mu = A - K_\mu E_1^T, \quad A_0 = A - K E_1^T$$

其中 $\mu \geq 1$ 为设计参数, E_i 表示 \mathbb{R}^n 中的第 i 个坐标向量。高增益K滤波器构造如下:

$$\dot{\xi} = A_\mu \xi + K_\mu y \quad (4.2.6)$$

$$\dot{\Xi} = A_\mu \Xi + \varphi(y) \quad (4.2.7)$$

$$\dot{\lambda} = A_\mu \lambda + E_n \eta(y) u \quad (4.2.8)$$

引入信号 $v_j = A_\mu^j \lambda (j = 0, \dots, m)$, 其导数满足

$$\dot{v}_j = A_\mu v_j + E_{n-j} \eta(y) u \quad (4.2.9)$$



x 的估计值可表示为

$$\hat{x} = \xi + \Xi a + \sum_{j=0}^m h b_j v_j \quad (4.2.10)$$

定义 $\tilde{x} = x - \hat{x}$, 可以证明:

$$\dot{\tilde{x}} = A_{\mu} \tilde{x} + \bar{b} \Delta(t) \eta(y) \quad (4.2.11)$$

引入变换

$$\varepsilon = W \tilde{x}, \quad W = \text{diag}\{1, \mu^{-1}, \dots, \mu^{1-n}\} \quad (4.2.12)$$

注意 $W A_{\mu} W^{-1} = \mu A_0$, 可以证明

$$\dot{\varepsilon} = \mu A_0 \varepsilon + W \bar{b} \Delta(t) \eta(y) \quad (4.2.13)$$

定义 $V_{\varepsilon} = \varepsilon^T H \varepsilon$, 其中矩阵 H 正定对称且满足 $A_0^T H + H A_0 = -(2 + \rho) I_n$ 。注意 $\mu \geq 1$, 可以证明



$$\begin{aligned}\dot{V}_\varepsilon &= -(2 + \rho)\mu\varepsilon^T\varepsilon + 2\varepsilon^T HW\bar{b}\Delta(t)\eta(y) \\ &\leq -(1 + \rho)\mu\varepsilon^T\varepsilon + g\eta^2(y)\end{aligned}\quad (4.2.14)$$

其中常数 g 满足 $g \geq \|H\|^2 \|\bar{b}\Delta(t)\|^2, \forall t \geq 0$ 。

令 ξ, λ, v_j 和 ε 的第 i 个元素分别记为 $\xi_i, \lambda_i, v_{j,i}$ 和 ε_i , $\varphi(y)$ 和 Ξ 的第 i 行分别记为 $\varphi_i(y)$ 和 Ξ_i 。则 y 的导数可表示成

$$\begin{aligned}\dot{y} &= x_2 + \varphi_1(y)a \\ &= \xi_2 + [\varphi_1(y) + \Xi_2]a + \sum_{j=0}^m \textcolor{red}{h}b_j v_{j,2} + \textcolor{red}{\mu}\varepsilon_2\end{aligned}\quad (4.2.15)$$



4.2.3 控制器设计

定义

$$z_1 = y - y_d, \quad z_i = v_{m,i} - \alpha_{i-1}, \quad i = 2, \dots, \rho \quad (4.2.16)$$

其中 α_{i-1} 是将在第 $i - 1$ 步中设计的镇定函数。令

$$\alpha_\rho := \eta(y)u + v_{m,\rho+1}, \quad z_{\rho+1} := 0 \quad (4.2.17)$$

由式(4.2.9)、(4.2.16)和(4.2.17)可得

$$\dot{v}_{m,i} = -k_i \mu^i v_{m,1} + z_{i+1} + \alpha_i, \quad i = 2, \dots, \rho \quad (4.2.18)$$

第1步: $z_1 = y - y_d$ 的导数可以表示为

$$\dot{z}_1 = hb_m z_2 + hb_m \alpha_1 + \xi_2 + \theta^T \omega_1 + \mu \varepsilon_2 - \dot{y}_d \quad (4.2.19)$$

其中 $\omega_1 = [\varphi_1(y) + \Xi_2, 0, v_{m-1,2}, \dots, v_{0,2}]^T \in \mathbb{R}^{q+m+1}$,
 $\theta = [a^T, hb^T]^T \in \mathbb{R}^{q+m+1}$ 。



令 $\hat{\theta}$ 、 \hat{p} 和 \hat{g} 分别是 θ 、 $p = \frac{1}{hb_m}$ 和 g 的估计值。定义第1个准Lyapunov函数：

$$V_1 = V_\varepsilon + \frac{1}{2} z_1^2 + \frac{1}{2} \tilde{\theta}^T \Gamma^{-1} \tilde{\theta} + \frac{h}{2\gamma_1} |b_m| \tilde{p}^2 + \frac{1}{2\gamma_2} \tilde{g}^2 \quad (4.2.20)$$

其中正定对称矩阵 $\Gamma \in \mathbb{R}^{(q+m+1) \times (q+m+1)}$ 、标量 $\gamma_1 > 0$ 、标量 $\gamma_2 > 0$ 为设计参数， $\tilde{\theta} = \hat{\theta} - \theta$ ， $\tilde{p} = \hat{p} - p$ ， $\tilde{g} = \hat{g} - g$ 。微分式(4.2.20)有

$$\begin{aligned} \dot{V}_1 \leq & -(1 + \rho) \mu \varepsilon^T \varepsilon + g \eta^2(y) + z_1 (hb_m z_2 + hb_m \alpha_1 + \xi_2 \\ & + \theta^T \omega_1 + \mu \varepsilon_2 - \dot{y}_d) + \tilde{\theta}^T \Gamma^{-1} \dot{\tilde{\theta}} + \frac{h}{\gamma_1} |b_m| \tilde{p} \dot{\tilde{p}} + \frac{1}{\gamma_2} \tilde{g} \dot{\tilde{g}} \end{aligned} \quad (4.2.21)$$

引入光滑函数

$$\bar{\eta} = \frac{2}{z_1^2 + \epsilon} \eta^2(y) \quad (4.2.22)$$



其中 $\epsilon > 0$ 为设计参数，注意

$$z_1 \mu \epsilon_2 \leq \frac{1}{4} \mu z_1^2 + \mu \epsilon^T \epsilon \quad (4.2.23)$$

由式(4.2.21) – (4.2.23)可得

$$\begin{aligned} \dot{V}_1 &\leq -\rho \mu \epsilon^T \epsilon + z_1 (h b_m z_2 + h b_m \alpha_1 + \xi_2 + \hat{\theta}^T \omega_1 \\ &\quad + \frac{1}{4} \mu z_1 - \dot{y}_d + \hat{g} z_1 \bar{\eta}) + \tilde{\theta}^T \Gamma^{-1} (\dot{\hat{\theta}} - \Gamma \omega_1 z_1) \\ &\quad + \frac{h}{\gamma_1} |b_m| \tilde{p} \dot{p} + \frac{1}{\gamma_2} \tilde{g} (\dot{\hat{g}} - \gamma_2 z_1^2 \bar{\eta}) + \delta \\ &\leq -c_1 z_1^2 - \rho \mu \epsilon^T \epsilon + z_1 h b_m z_2 + z_1 h b_m \alpha_1 - z_1 \bar{\alpha}_1 \\ &\quad + \tilde{\theta}^T \Gamma^{-1} (\dot{\hat{\theta}} - \Gamma \omega_1 z_1) + \frac{h}{\gamma_1} |b_m| \tilde{p} \dot{p} \\ &\quad + \frac{1}{\gamma_2} \tilde{g} (\dot{\hat{g}} - \gamma_2 z_1^2 \bar{\eta}) + \delta \end{aligned} \quad (4.2.24)$$



其中 $\delta = g\eta^2(y) - gz_1^2\bar{\eta} = \frac{g(\epsilon - z_1^2)}{z_1^2 + \epsilon}\eta^2(z_1 + y_d)$, $\bar{\alpha}_1 = -c_1z_1 - \hat{\theta}^T\omega_1 - \xi_2 - \frac{1}{4}\mu z_1 + \dot{y}_d - \hat{g}z_1\bar{\eta}$, $c_1 > 0$ 为设计参数。容易验证, 当 $|z_1| > \sqrt{\epsilon}$, 时, $\delta < 0$; 当时 $|z_1| \leq \sqrt{\epsilon}$, δ 有界。因此存在常数 $\bar{\delta}$ 使得 $\delta \leq \bar{\delta}$ 。令

$$\tau_1 = \Gamma\omega_1z_1 - \sigma_3\Gamma\hat{\theta} \quad (4.2.25)$$

$$\dot{\hat{g}} = \gamma_2z_1^2\bar{\eta} - \sigma_2\gamma_2\hat{g} \quad (4.2.26)$$

$$\alpha_1 = \hat{p}\bar{\alpha}_1 \quad (4.2.27)$$

$$\dot{\hat{p}} = -\text{sign}(b_m)\gamma_1z_1\bar{\alpha}_1 - \gamma_1\sigma_1\hat{p} \quad (4.2.28)$$

其中 $\sigma_1 > 0$ 、 $\sigma_2 > 0$ 和 $\sigma_3 > 0$ 为设计参数。将式(4.2.25) – (4.2.28)代入式(4.2.24), 有



$$\begin{aligned} \dot{V}_1 \leq & -c_1 z_1^2 - \rho \mu \varepsilon^T \varepsilon + z_1 h b_m z_2 + \tilde{\theta}^T \Gamma^{-1} (\dot{\hat{\theta}} - \tau_1) \\ & - \sigma_3 \tilde{\theta}^T \hat{\theta} - \sigma_1 h |b_m| \tilde{p} \hat{p} - \sigma_2 \tilde{g} \hat{g} + \bar{\delta} \end{aligned} \quad (4.2.29)$$

第2步：注意到 α_1 可表示为 $y, \hat{\theta}$ 和 $X_1 = [y_d, \dot{y}_d, \xi, \Xi_1, \dots, \Xi_n, \lambda_1, \dots, \lambda_{m+1}, \hat{p}, \hat{g}]^T$ 的光滑函数。 $z_2 = v_{m,2} - \alpha_1$ 的导数可表示为

$$\dot{z}_2 = z_3 + \alpha_2 + \beta_2 + \theta^T \omega_2 - h b_m z_1 - \frac{\partial \alpha_1}{\partial y} \mu \varepsilon_2 - \frac{\partial \alpha_1}{\partial \hat{\theta}} \dot{\hat{\theta}} \quad (4.2.30)$$

其中 $\omega_2 = [-\frac{\partial \alpha_1}{\partial y} (\varphi_1(y) + \Xi_2), z_1 - \frac{\partial \alpha_1}{\partial y} v_{m,2}, -\frac{\partial \alpha_1}{\partial y} v_{m-1,2}, \dots, -\frac{\partial \alpha_1}{\partial y} v_{0,2}]^T \in \mathbb{R}^{q+m+1}$, $\beta_2 = -k_2 \mu^2 v_{m,1} - \frac{\partial \alpha_1}{\partial y} \xi_2 - \frac{\partial \alpha_1}{\partial X_1} \dot{X}_1$ 。

定义第2个准Lyapunov函数

$$V_2 = V_1 + \frac{1}{2} z_2^2 \quad (4.2.31)$$



其导数满足

$$\begin{aligned}\dot{V}_2 \leq & -c_1 z_1^2 - (\rho - 1)\mu \varepsilon^T \varepsilon + z_2 [z_3 + \alpha_2 + \beta_2 + \hat{\theta}^T \omega_2 \\ & + \frac{1}{4}\mu \left(\frac{\partial \alpha_1}{\partial y}\right)^2 z_2 - \frac{\partial \alpha_1}{\partial \hat{\theta}} \dot{\hat{\theta}}] + \tilde{\theta}^T \Gamma^{-1} (\dot{\hat{\theta}} - \tau_1 - \Gamma \omega_2 z_2) \\ & - \sigma_3 \tilde{\theta}^T \hat{\theta} - \sigma_1 h |b_m| \tilde{p} \hat{p} - \sigma_2 \tilde{g} \hat{g} + \bar{\delta}\end{aligned}\quad (4.2.32)$$

令

$$\tau_2 = \tau_1 + \Gamma \omega_2 z_2 \quad (4.2.33)$$

$$\alpha_2 = -c_2 z_2 - \beta_2 - \hat{\theta}^T \omega_2 - \frac{1}{4}\mu \left(\frac{\partial \alpha_1}{\partial y}\right)^2 z_1 + \frac{\partial \alpha_1}{\partial \hat{\theta}} \tau_2 \quad (4.2.34)$$

其中 $c_2 > 0$ 为设计参数, 然后有

$$\begin{aligned}\dot{V}_2 \leq & -c_1 z_1^2 - c_2 z_2^2 - (\rho - 1)\mu \varepsilon^T \varepsilon + z_2 z_3 + \bar{\delta} \\ & + z_2 \frac{\partial \alpha_1}{\partial \hat{\theta}} (\tau_2 - \dot{\hat{\theta}}) + \tilde{\theta}^T \Gamma^{-1} (\dot{\hat{\theta}} - \tau_2) \\ & - \sigma_3 \tilde{\theta}^T \hat{\theta} - \sigma_1 h |b_m| \tilde{p} \hat{p} - \sigma_2 \tilde{g} \hat{g}\end{aligned}\quad (4.2.35)$$



第 i 步($3 \leq i \leq \rho$): 注意到 α_{i-1} 是 $y, \hat{\theta}$ 和 $X_{i-1} = [y_d, \dot{y}_d, \dots, y_d^{(i-1)}, \xi, \Xi_1, \dots, \Xi_n, \lambda_1, \dots, \lambda_{m+i-1}, \hat{p}, \hat{g}]^T$ 的光滑函数, $z_i = v_{m,i} - \alpha_{i-1}$ 的导数可表示为

$$\dot{z}_i = z_{i+1} + \alpha_i + \beta_i + \theta^T \omega_i - \frac{\partial \alpha_{i-1}}{\partial y} \mu \varepsilon_2 - \frac{\partial \alpha_{i-1}}{\partial \hat{\theta}} \dot{\hat{\theta}} \quad (4.2.36)$$

其中 $\omega_i = -\frac{\partial \alpha_{i-1}}{\partial y} [\varphi_1(y) + \Xi_2, v_{m,2}, \dots, v_{0,2}]^T \in \mathbb{R}^{q+m+1}$, $\beta_i = -k_i \mu^i v_{m,1} - \frac{\partial \alpha_{i-1}}{\partial y} \xi_i - \frac{\partial \alpha_{i-1}}{\partial X_{i-1}} \dot{X}_{i-1}$ 。选取第 i 个准Lyapunov函数:

$$V_i = V_{i-1} + \frac{1}{2} z_i^2 \quad (4.2.37)$$

其中 V_{i-1} 的导数满足



$$\begin{aligned}\dot{V}_{i-1} \leq & -\sum_{j=1}^{i-1} c_j z_j^2 + \sum_{j=2}^{i-1} z_j \frac{\partial \alpha_{j-1}}{\partial \hat{\theta}} \left(\tau_{i-1} - \dot{\hat{\theta}} \right) + z_{i-1} z_i \\ & -(\rho + 2 - i) \mu \varepsilon^T \varepsilon + \tilde{\theta}^T \Gamma^{-1} \left(\dot{\hat{\theta}} - \tau_{i-1} \right) \\ & -\sigma_3 \tilde{\theta}^T \hat{\theta} - \sigma_1 h |b_m| \tilde{p} \hat{p} - \sigma_2 \tilde{g} \hat{g} + \bar{\delta}\end{aligned}\quad (4.2.38)$$

利用式(4.2.36) – (4.2.38)可证明

$$\begin{aligned}\dot{V}_i \leq & -\sum_{j=1}^{i-1} c_j z_j^2 - (\rho + 1 - i) \mu \varepsilon^T \varepsilon + z_i [z_{i-1} + z_{i+1} \\ & + \alpha_i + \beta_i + \hat{\theta}^T \omega_i + \frac{1}{4} \mu \left(\frac{\partial \alpha_{i-1}}{\partial y} \right)^2 z_i - \frac{\partial \alpha_{i-1}}{\partial \hat{\theta}} \dot{\hat{\theta}}] \\ & + \sum_{j=2}^{i-1} z_j \frac{\partial \alpha_{j-1}}{\partial \hat{\theta}} \left(\tau_{i-1} - \dot{\hat{\theta}} \right) - \sigma_1 h |b_m| \tilde{p} \hat{p} - \sigma_2 \tilde{g} \hat{g} \\ & + \tilde{\theta}^T \Gamma^{-1} \left(\dot{\hat{\theta}} - \tau_{i-1} - \Gamma \omega_i z_i \right) - \sigma_3 \tilde{\theta}^T \hat{\theta} + \bar{\delta}\end{aligned}\quad (4.2.39)$$



令

$$\tau_i = \tau_{i-1} + \Gamma \omega_i z_i \quad (4.2.40)$$

$$\begin{aligned} \alpha_i = & -c_i z_i - z_{i-1} - \beta_i - \hat{\theta}^T \omega_i - \frac{1}{4} \mu \left(\frac{\partial \alpha_{i-1}}{\partial y} \right)^2 z_i \\ & + \frac{\partial \alpha_{i-1}}{\partial \hat{\theta}} \tau_i + \sum_{j=2}^{i-1} z_j \frac{\partial \alpha_{j-1}}{\partial \hat{\theta}} \Gamma \omega_i \end{aligned} \quad (4.2.41)$$

其中 $c_i > 0$ 为设计参数。然后有

$$\begin{aligned} \dot{V}_i \leq & -\sum_{j=1}^i c_j z_j^2 - (\rho + 1 - i) \mu \varepsilon^T \varepsilon + z_i z_{i+1} \\ & + \sum_{j=2}^i z_j \frac{\partial \alpha_{j-1}}{\partial \hat{\theta}} \left(\tau_i - \hat{\theta} \right) + \tilde{\theta}^T \Gamma^{-1} \left(\dot{\hat{\theta}} - \tau_i \right) \\ & - \sigma_3 \tilde{\theta}^T \hat{\theta} - \sigma_1 h |b_m| \tilde{p} \hat{p} - \sigma_2 \tilde{g} \hat{g} + \bar{\delta} \end{aligned} \quad (4.2.42)$$



在得到 τ_ρ 和 α_ρ 后, 令

$$\dot{\hat{\theta}} = \tau_\rho \quad (4.2.43)$$

考虑式(4.2.17)可知

$$u = \frac{1}{\eta(y)} (\alpha_\rho - v_{m,\rho+1}) \quad (4.2.44)$$

在式(4.2.42)中, 令 $i = \rho$ 并利用式(4.2.43), 可得

$$\begin{aligned} \dot{V}_\rho \leq & - \sum_{j=1}^{\rho} c_j z_j^2 - \mu \varepsilon^T \varepsilon - \sigma_3 \tilde{\theta}^T \hat{\theta} - \sigma_1 h |b_m| \tilde{p} \hat{p} \\ & - \sigma_2 \tilde{g} \hat{g} + \bar{\delta} \end{aligned} \quad (4.2.45)$$



4.2.4 稳定性分析

定理4.2：考虑由被控对象(4.2.1)、滤波器(4.2.6) – (4.2.8)、自适应律(4.2.26)、(4.2.28)和(4.2.43)以及控制律(4.2.44)组成的闭环系统。假定假设1-4成立，则闭环系统所有信号全局一致有界且 z_1 可收敛至一任意小的残集内。

证明：利用不等式 $-\tilde{\theta}^T \hat{\theta} \leq -\frac{1}{2} \tilde{\theta}^T \tilde{\theta} + \frac{1}{2} \theta^T \theta$ 和 $-\tilde{p} \hat{p} \leq -\frac{1}{2} \tilde{p}^2 + \frac{1}{2} p^2$ ，式(4.2.45)可改写为

$$\begin{aligned} \dot{V}_\rho &\leq -\sum_{j=1}^{\rho} c_j z_j^2 - \mu \varepsilon^T \varepsilon - \frac{1}{2} \sigma_3 \tilde{\theta}^T \tilde{\theta} - \frac{1}{2} \sigma_1 h |b_m| \tilde{p}^2 \\ &\quad - \frac{1}{2} \sigma_2 \tilde{g}^2 + D_1 \\ &\leq -D_2 V_\rho + D_1 \end{aligned} \tag{4.2.46}$$



其中 $D_1 = \frac{1}{2} \sigma_3 \theta^T \theta + \frac{1}{2} \sigma_1 h |b_m| p^2 + \frac{1}{2} \sigma_2 g^2 + \bar{\delta}$, $D_2 = \min\{2c_1, \dots, 2c_\rho, \frac{\mu}{\lambda_{\max}(H)}, \frac{\sigma_3}{\lambda_{\max}(\Gamma^{-1})}, \gamma_1 \sigma_1, \gamma_2 \sigma_2\}$ 。上式意味着

$$0 \leq V_\rho(t) \leq \frac{D_1}{D_2} + \left[V_\rho(0) - \frac{D_1}{D_2} \right] e^{-D_2 t} \quad (4.2.47)$$

然后，类似于2.3节的分析，可以证明闭环系统内所有信号全局一致有界。此外， z_1 可收敛至一任意小的残集内。